



# Ultimi risultati per i decadimenti rari ed estremamente rari a LHCb

Gabriele Martelli

Università degli Studi di Perugia e INFN Perugia

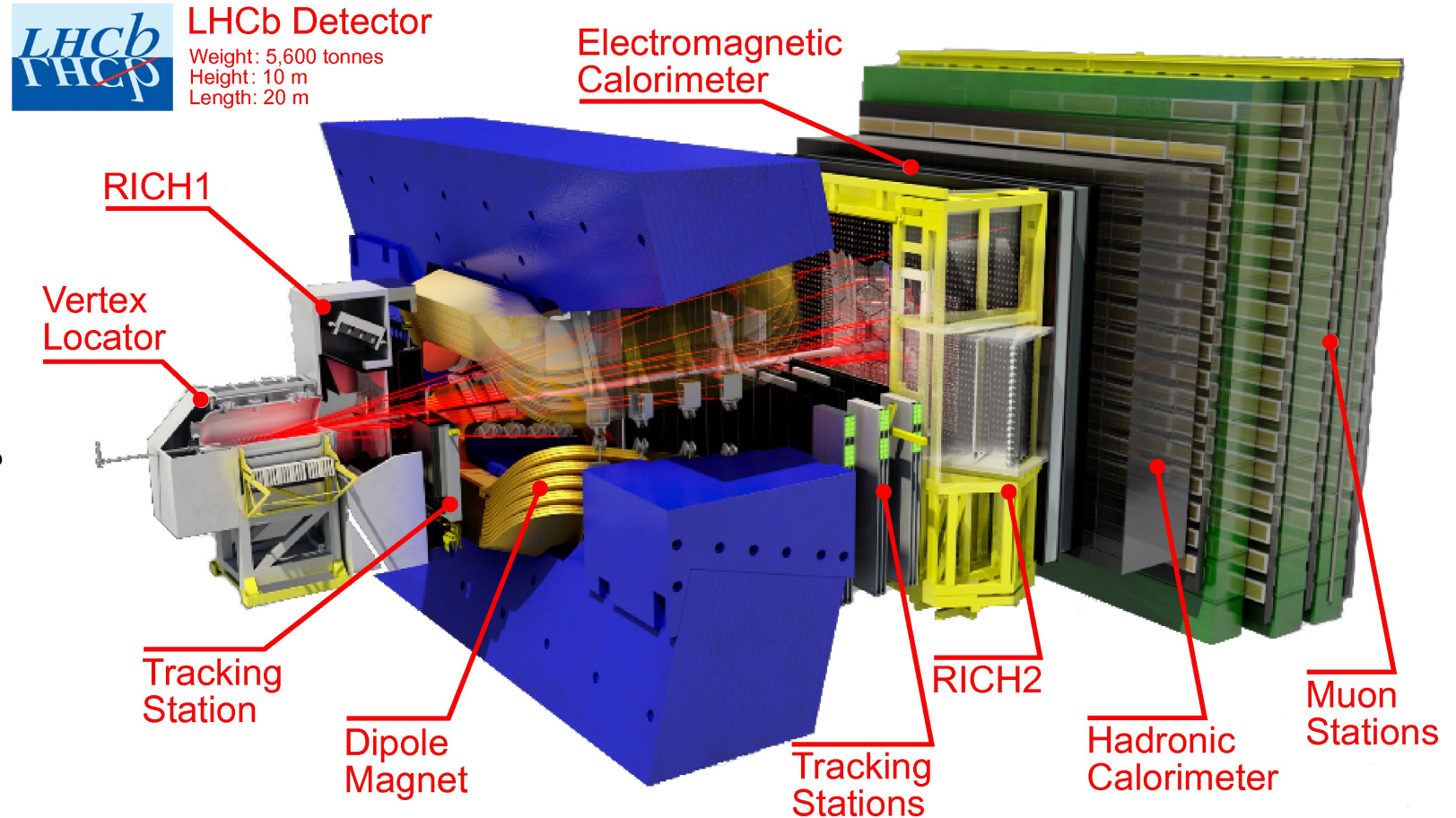
A nome della collaborazione LHCb

Firenze, 3 – 5 Aprile 2024

Incontri di Fisica delle Alte Energie

- *"Observation of the rare decay  $J/\psi \rightarrow \mu^+ \mu^- \mu^+ \mu^-$ "*
  - Ad oggi la misura più precisa su  $\mathcal{B}(J/\psi \rightarrow \mu^+ \mu^- \mu^+ \mu^-)$
  - [LHCb-CONF-2024-001](#) - Articolo in preparazione
  
- *"Search for the  $B_s^0 \rightarrow \mu^+ \mu^- \gamma$ "*
  - Primo limite con la ricostruzione completa dello stato finale
  - [LHCb-PAPER-2023-045](#) - Articolo in preparazione
  
- *"Measurement of the branching fraction ratio  $\mathcal{B}(\phi \rightarrow \mu^+ \mu^-)/\mathcal{B}(\phi \rightarrow e^+ e^-)$  with charm meson decays"*
  - Primo test di LFU nei decadimenti dei mesoni  $\phi$
  - [\[arXiv:2402.01336\]](#) - Sottomesso il 2 Febbraio 2024 alla rivista [JHEP](#)
  
- *"Comprehensive analysis of local and nonlocal amplitudes in the  $B^0 \rightarrow K^{*0} \mu^+ \mu^-$  decay"*
  - Analisi d'ampiezza
  - Misura diretta dei coefficienti di Wilson
  - [LHCb-PAPER-2024-011](#) - Articolo in preparazione

- ▶ Spettrometro a singolo braccio in avanti
- ▶ Pseudorapidità coperta:  $2 < \eta < 5$
- ▶ **Vertex Locator**
  - Ricostruzione dei vertici di decadimento
  - Risoluzione sul tempo di decadimento: 45 fs
  - Risoluzione sul punto di interazione: 20  $\mu\text{m}$
- ▶ **Dipole Magnet**
  - Forza di deflessione: 4 Tm
- ▶ **Stazioni di tracking TT e OT**
  - Risoluzione sul momento  $\Delta p/p = 0.5\% - 1.0\%$   
(5 GeV/c – 100 GeV/c)
- ▶ **Rivelatori RICH**
  - Efficienza di separazione  $\varepsilon(K \rightarrow \bar{K}) \sim 95\%$   
mis-ID  $\varepsilon(\pi \rightarrow K) \sim 5\%$
- ▶ **Calorimetri (ECAL, HCAL)**
  - Identificazione e misura energetica di  $e/\gamma$
  - $\Delta E/E = 1\% \oplus 10\%/\sqrt{E}$  (GeV)
- ▶ **Stazioni muoniche**
  - Efficienza di identificazione  $\varepsilon(\mu \rightarrow \bar{\mu}) \sim 97\%$ , mis-ID  $\varepsilon(\pi \rightarrow \mu) \sim 1-3\%$



[JINST 3 (2008) S08005]

[IJMPA 30 (2015) 1530022]

- $J/\psi \rightarrow \mu^+ \mu^- \mu^+ \mu^-$  è un decadimento elettromagnetico raro
  - Stato finale radiativo (FSR) con emissione di  $\gamma^*$  da  $J/\psi \rightarrow \mu^+ \mu^-$
  - Predizione del Modello Standard:  
 $B(J/\psi \rightarrow \mu^+ \mu^- \mu^+ \mu^-) = (9.74 \pm 0.05) \times 10^{-7}$  [[Phys. Rev. D 104, 094023](#)]

- Interesse
  - Studio di processi elettromagnetici rari e QED
    - ✓ Larghezza di decadimento forte soppressa - **regola OZI**
  - Ricerca di Nuova Fisica nel processo FSR
    - ✓  $J/\psi \rightarrow XX \rightarrow \mu^+ \mu^- \mu^+ \mu^-$

➤ Stato dell'arte

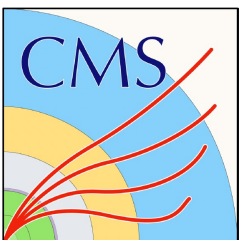


$$J/\psi \rightarrow e^+ e^- e^+ e^- \quad \checkmark$$

$$J/\psi \rightarrow e^+ e^- \mu^+ \mu^- \quad \checkmark$$

$$B(J/\psi \rightarrow \mu^+ \mu^- \mu^+ \mu^-) < 16 \times 10^{-7} \quad \times$$

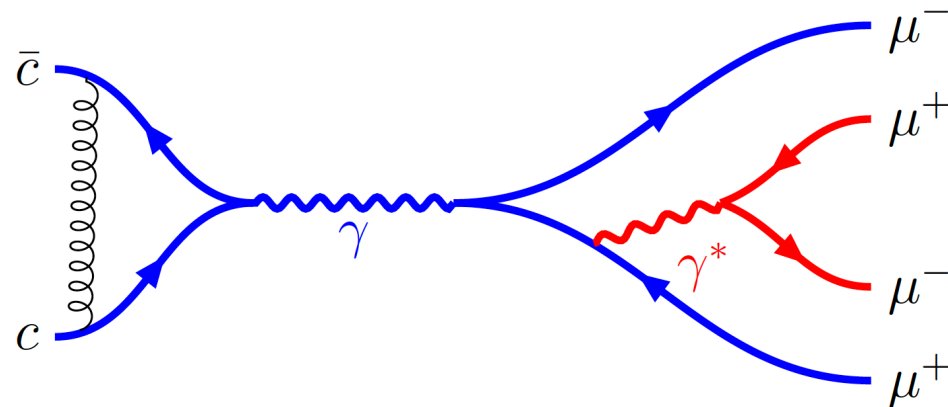
[[Phys. Rev. D 109, 052006](#)]



$$B(J/\psi \rightarrow \mu^+ \mu^- \mu^+ \mu^-) = (10.1_{-2.7}^{+3.3} \pm 0.4) \times 10^{-7} \quad \checkmark$$

[[arXiv:2403.11352](#)]

Presentato a  
Moriond EW+U 2024



- $J/\psi \rightarrow \mu^+ \mu^- \mu^+ \mu^-$  è un decadimento elettromagnetico raro
  - Stato finale radiativo (FSR) con emissione di  $\gamma^*$  da  $J/\psi \rightarrow \mu^+ \mu^-$
  - Predizione del Modello Standard:  
 $B(J/\psi \rightarrow \mu^+ \mu^- \mu^+ \mu^-) = (9.74 \pm 0.05) \times 10^{-7}$  [Phys. Rev. D 104, 094023]

- Interesse
  - Studio di processi elettromagnetici rari e QED
    - ✓ Larghezza di decadimento forte soppressa - **regola OZI**
  - Ricerca di Nuova Fisica nel processo FSR
    - ✓  $J/\psi \rightarrow XX \rightarrow \mu^+ \mu^- \mu^+ \mu^-$

Stato dell'arte

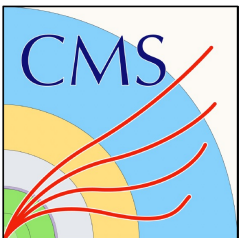


$$J/\psi \rightarrow e^+ e^- e^+ e^- \quad \checkmark$$

$$J/\psi \rightarrow e^+ e^- \mu^+ \mu^- \quad \checkmark$$

$$B(J/\psi \rightarrow \mu^+ \mu^- \mu^+ \mu^-) < 16 \times 10^{-7} \quad \times$$

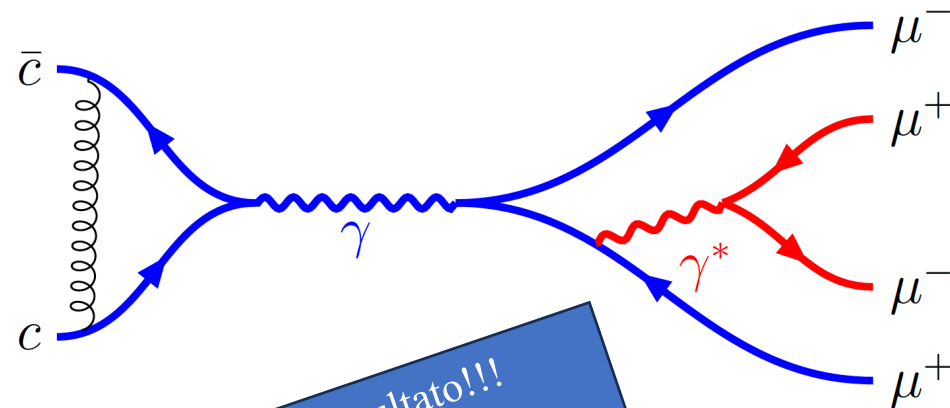
[Phys. Rev. D 109, 052006]



$$B(J/\psi \rightarrow \mu^+ \mu^- \mu^+ \mu^-) = (10.1^{+3.3}_{-2.7} \pm 0.4) \times 10^{-7} \quad \checkmark$$

[arXiv:2403.11352]

Presentato a  
Moriond EW+U 2024



Nuovo risultato!!!  
Presentato a  
Moriond QCD 2024



- "Observation of the rare decay  $J/\psi \rightarrow \mu^+ \mu^- \mu^+ \mu^-$ "
  - LHCb-CONF-2024-001 - Articolo in preparazione
  - $\sqrt{s} = 13 \text{ TeV}$ ,  $\mathcal{L} = 5.4 \text{ fb}^{-1}$

- Strategia
  - Misura di  $\mathcal{B}(J/\psi \rightarrow \mu^+ \mu^- \mu^+ \mu^-)$
  - Analisi su campioni "prompt" e "secondari"
  - $J/\psi \rightarrow \mu^+ \mu^-$  come canale di normalizzazione

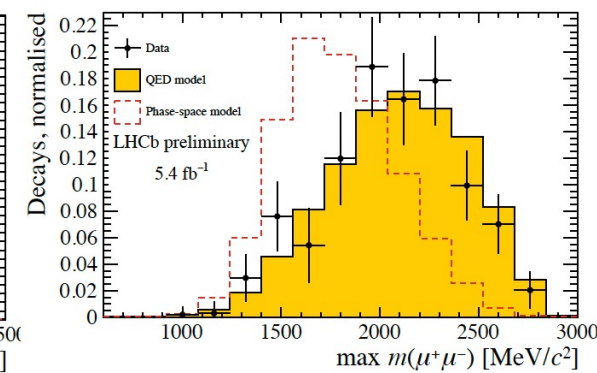
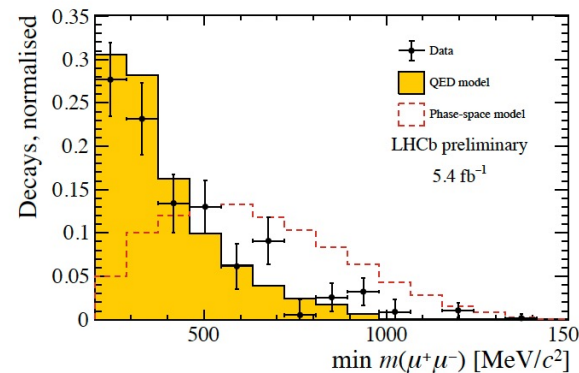
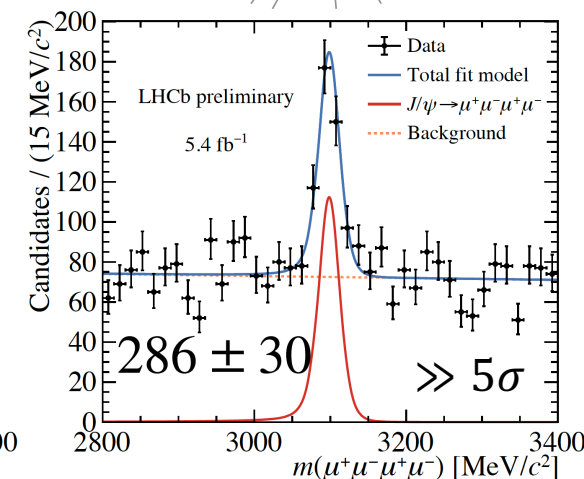
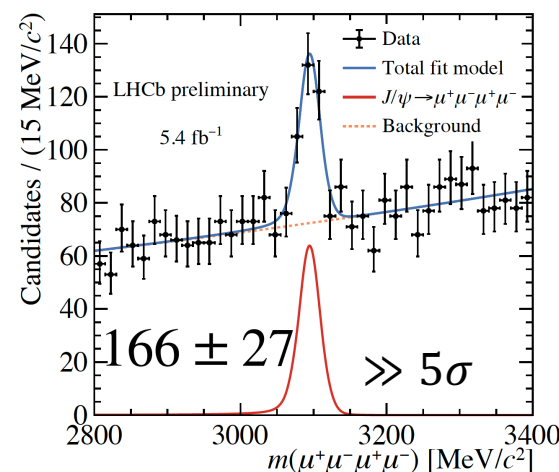
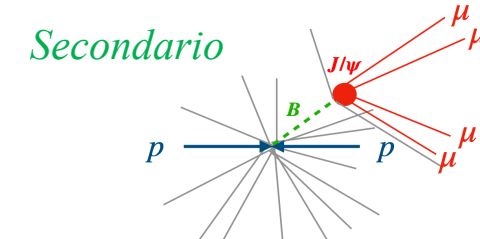
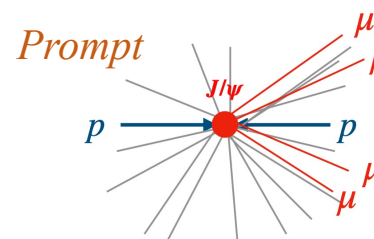
$$R_{BR} = \frac{\mathcal{B}(J/\psi \rightarrow \mu^+ \mu^- \mu^+ \mu^-)}{\mathcal{B}(J/\psi \rightarrow \mu^+ \mu^-)}$$

- Risultati

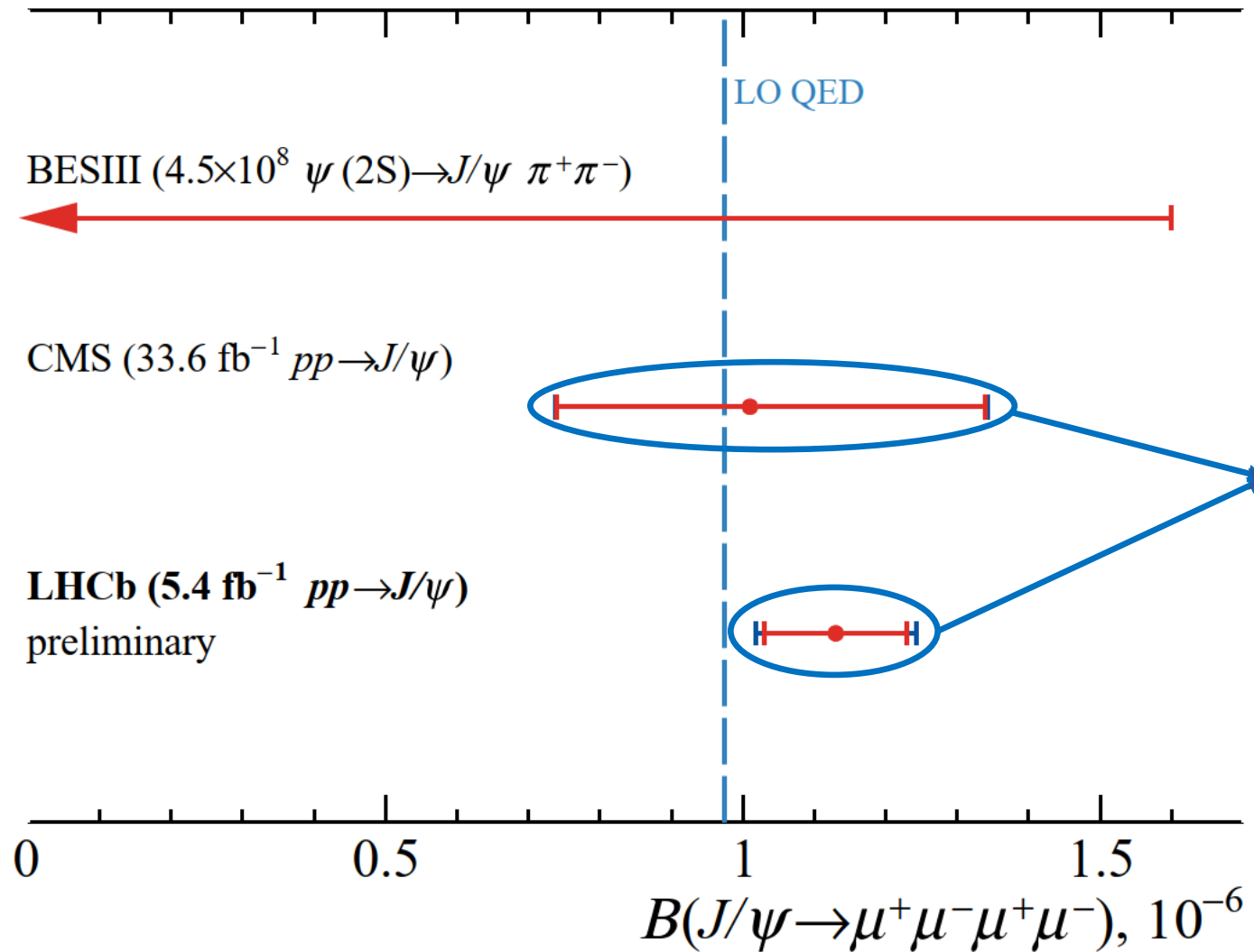
$$R_{BR} = (1.89 \pm 0.17_{stat.} \pm 0.08_{sist.}) \times 10^{-5}$$

$$\mathcal{B}(J/\psi \rightarrow \mu^+ \mu^- \mu^+ \mu^-) = (1.13 \pm 0.10_{stat.} \pm 0.05_{sist.} \pm 0.01_{est.}) \times 10^{-6}$$

- Consistente con il Modello Standard entro  $\sim 1.4\sigma$ 
  - ✓ Ad oggi la misura più precisa su  $\mathcal{B}(J/\psi \rightarrow \mu^+ \mu^- \mu^+ \mu^-)$
- Distribuzioni  $m_{\mu^+ \mu^-}$  in accordo con i modelli QED
  - ✓ Nessuna struttura risonante osservata ...



# $J/\psi \rightarrow \mu^+ \mu^- \mu^+ \mu^-$ - Conclusioni



Principale differenza

- Modelli MC

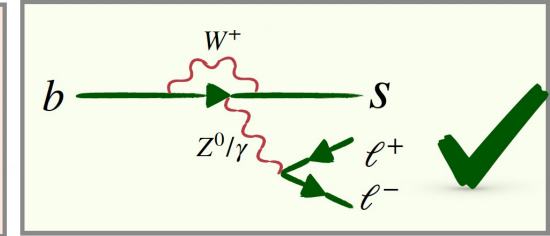
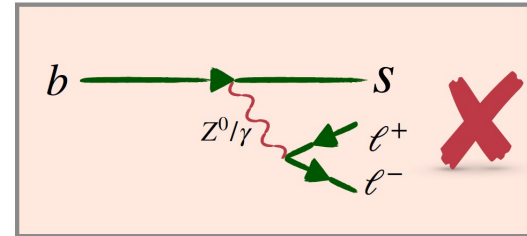


PHSP



Physics

# $B_s^0 \rightarrow \mu^+ \mu^- \gamma$



- ▶  $b \rightarrow s \ell^+ \ell^-$  è soppressa al livello "albero"
  - Flavour Changing Neutral Current (FCNC)
  - Sensibile a contributi di Nuova Fisica

- ▶ Interesse
  - $B_s^0 \rightarrow \mu^+ \mu^- \gamma$  è sensibile a molti operatori  $\mathcal{O}$ 
    - ✓  $B_s^0 \rightarrow \mu^+ \mu^-$  sensibile solo a  $\mathcal{O}'_{10}$
  - $\gamma$  rimuove la soppressione chirale
    - ✓  $\mathcal{B}(B_s^0 \rightarrow \mu^+ \mu^- \gamma) \sim \mathcal{B}(B_s^0 \rightarrow \mu^+ \mu^-)$

▶ Stato dell'arte



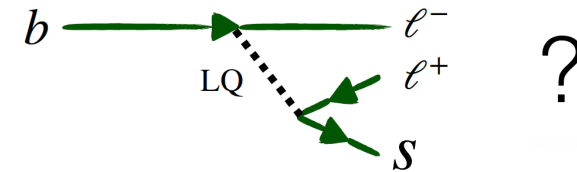
Prima ricerca

$\mathcal{B}(B_s^0 \rightarrow \mu^+ \mu^- \gamma) < 1.6 \times 10^{-7}$  ✗  
[Phys. Rev. D 77 (2008) 011104]

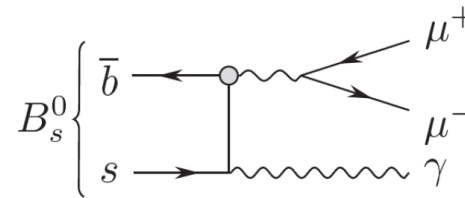


$\mathcal{B}(B_s^0 \rightarrow \mu^+ \mu^- \gamma) < 2.0 \times 10^{-9}$  ✗  
[Phys. Rev. D105 (2022) 012010]

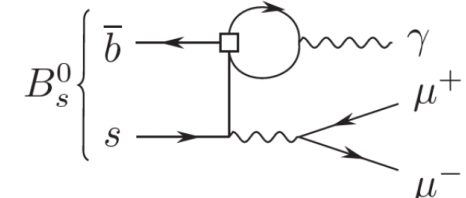
Parzialmente ricostruito  
come fondo di  $B_s^0 \rightarrow \mu^+ \mu^-$



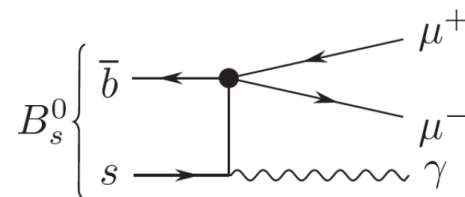
$\mathcal{O}_7^{(')}$  (a)



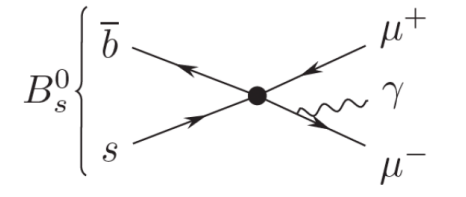
$\mathcal{O}_{1,2}$  (b)



$\mathcal{O}_{9,10}^{(')}$  (c)



$\mathcal{O}_{9,10}^{(')}$  (d)



## "Search for the $B_s^0 \rightarrow \mu^+ \mu^- \gamma$ "

- LHCb-PAPER-2023-045 - Articolo in preparazione
- $\sqrt{s} = 13 \text{ TeV}$ ,  $\mathcal{L} = 5.4 \text{ fb}^{-1}$

## Strategia

- Misura di  $\mathcal{B}(B_s^0 \rightarrow \mu^+ \mu^- \gamma)$ 
  - ✓ Tre bin di  $q^2$  (I, II, III)
- $B_s^0 \rightarrow J/\psi \eta$  come canale di normalizzazione
  - ✓  $J/\psi \rightarrow \mu^+ \mu^-$  e  $\eta \rightarrow \gamma \gamma$

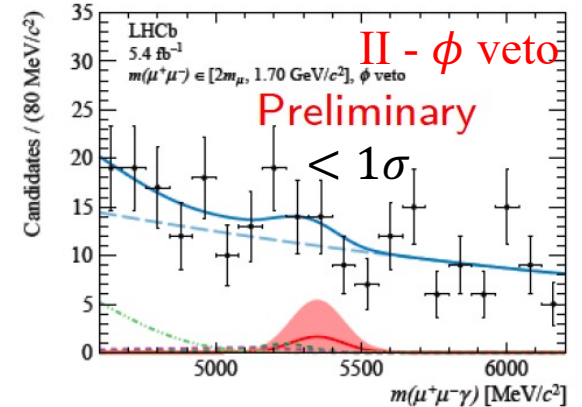
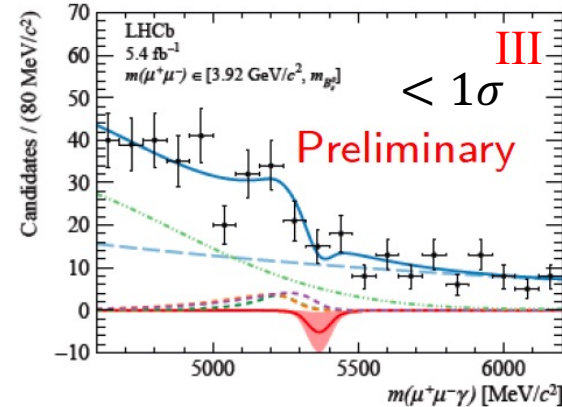
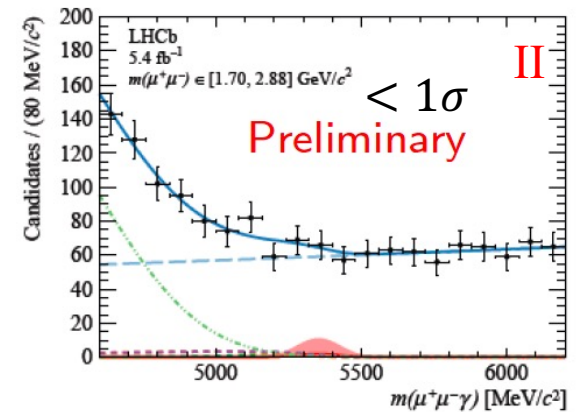
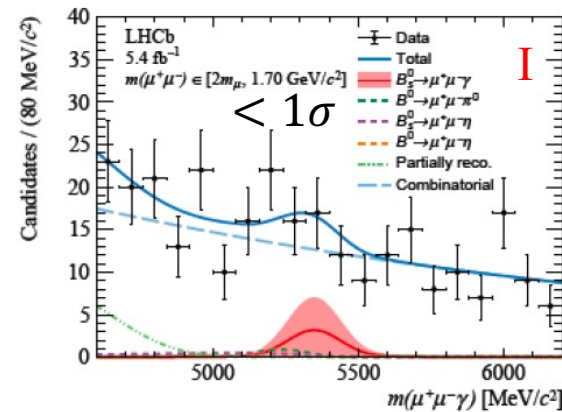
$$\mathcal{B}(B_s^0 \rightarrow \mu^+ \mu^- \gamma) = \frac{\mathcal{B}(B_s^0 \rightarrow J/\psi \eta)}{N_{B_s^0 \rightarrow J/\psi \eta}} \times \frac{\varepsilon_{B_s^0 \rightarrow J/\psi \eta}}{\varepsilon_{B_s^0 \rightarrow \mu^+ \mu^- \gamma}} \times N_{B_s^0 \rightarrow \mu^+ \mu^- \gamma}$$

## Risultati

$$\begin{aligned} \mathcal{B}(B_s^0 \rightarrow \mu^+ \mu^- \gamma)_{\text{I}} &= (1.34 \pm 1.60 \pm 0.28) \times 10^{-8}, \\ \mathcal{B}(B_s^0 \rightarrow \mu^+ \mu^- \gamma)_{\text{II}} &= (0.76 \pm 3.55 \pm 0.30) \times 10^{-8}, \\ \mathcal{B}(B_s^0 \rightarrow \mu^+ \mu^- \gamma)_{\text{III}} &= (-2.55 \pm 2.25 \pm 0.41) \times 10^{-8}, \\ \mathcal{B}(B_s^0 \rightarrow \mu^+ \mu^- \gamma)_{\text{I, with } \phi \text{ veto}} &= (0.72 \pm 1.56 \pm 0.29) \times 10^{-8}. \end{aligned}$$

- Dominati dall'incertezza statistica

$q^2$ bin	I	II	III
$q^2$ [GeV <sup>2</sup> /c <sup>4</sup> ]	$[4m_\mu^2, 2.89]$	$[2.89, 8.29]$	$[15.37, m_{B_s^0}^2]$
$m(\mu^+ \mu^-)$ [GeV/c <sup>2</sup> ]	$[2m_\mu, 1.70]$	$[1.70, 2.88]$	$[3.92, m_{B_s^0}]$
$10^{10} \times \mathcal{B}(B_s^0 \rightarrow \mu^+ \mu^- \gamma)$ [8]	$82 \pm 15$	$2.54 \pm 0.34$	$9.1 \pm 1.1$
Fraction of $B_s^0 \rightarrow \mu^+ \mu^- \gamma$	87%	2.7%	9.8%



## "Search for the $B_s^0 \rightarrow \mu^+ \mu^- \gamma$ "

- LHCb-PAPER-2023-045 - Articolo in preparazione
- $\sqrt{s} = 13 \text{ TeV}$ ,  $\mathcal{L} = 5.4 \text{ fb}^{-1}$

## Strategia

- Misura di  $\mathcal{B}(B_s^0 \rightarrow \mu^+ \mu^- \gamma)$ 
  - ✓ Tre bin di  $q^2$  (I, II, III)
- $B_s^0 \rightarrow J/\psi \eta$  come canale di normalizzazione
  - ✓  $J/\psi \rightarrow \mu^+ \mu^-$  e  $\eta \rightarrow \gamma \gamma$

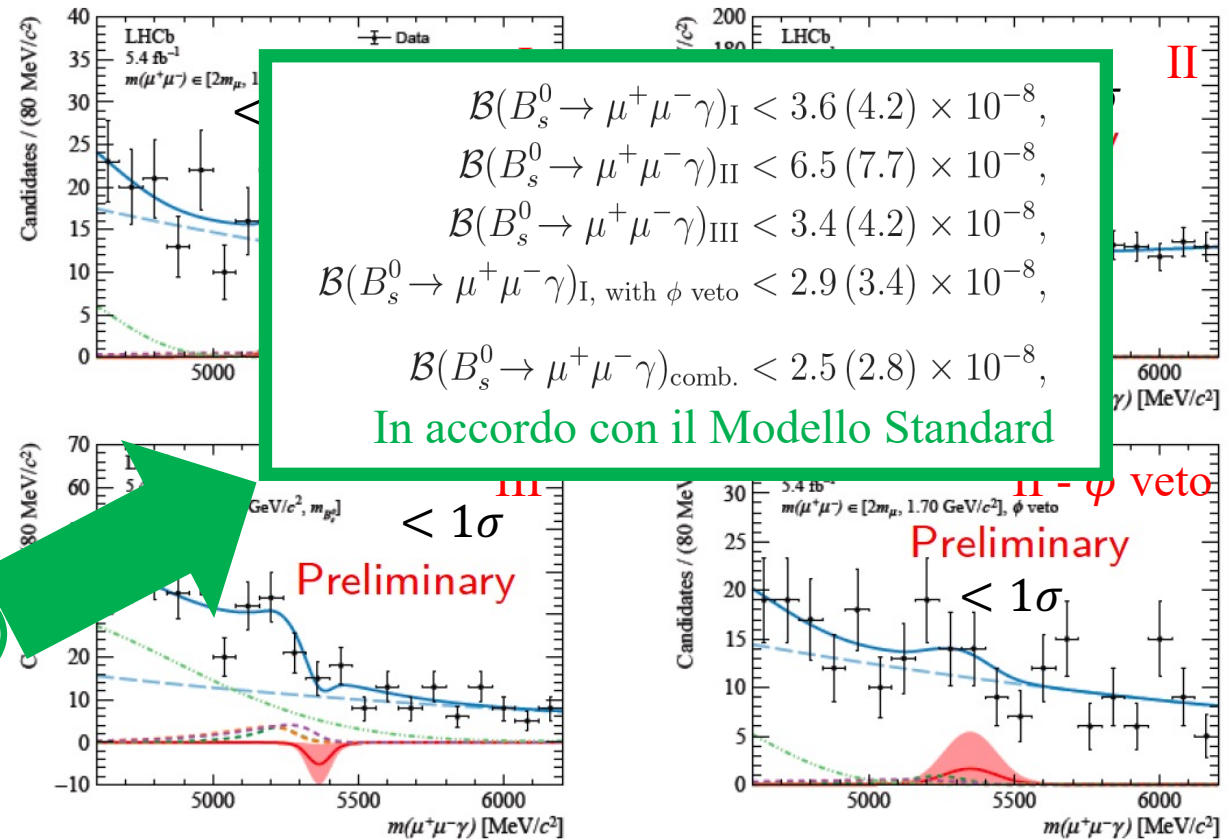
$$\mathcal{B}(B_s^0 \rightarrow \mu^+ \mu^- \gamma) = \frac{\mathcal{B}(B_s^0 \rightarrow J/\psi \eta)}{N_{B_s^0 \rightarrow J/\psi \eta}} \times \frac{\epsilon_{B_s^0 \rightarrow J/\psi \eta}}{\epsilon_{B_s^0 \rightarrow \mu^+ \mu^- \gamma}} \times N_{B_s^0 \rightarrow \mu^+ \mu^- \gamma}$$

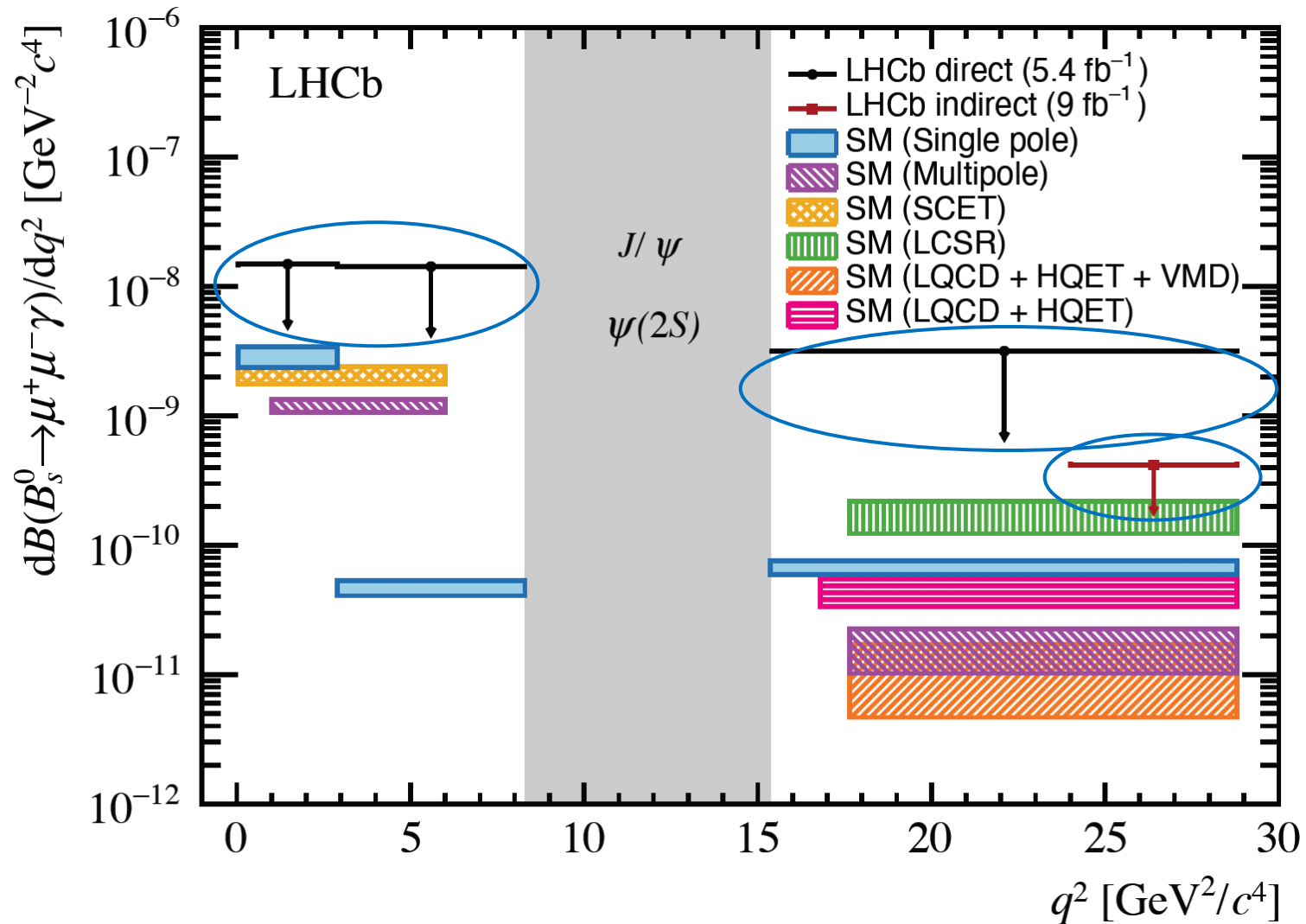
## Risultati

$$\begin{aligned} \mathcal{B}(B_s^0 \rightarrow \mu^+ \mu^- \gamma)_I &= (1.34 \pm 1.60 \pm 0.28) \times 10^{-8}, \\ \mathcal{B}(B_s^0 \rightarrow \mu^+ \mu^- \gamma)_{II} &= (0.76 \pm 3.55 \pm 0.30) \times 10^{-8}, \\ \mathcal{B}(B_s^0 \rightarrow \mu^+ \mu^- \gamma)_{III} &= (-2.55 \pm 2.25 \pm 0.41) \times 10^{-8}, \\ \mathcal{B}(B_s^0 \rightarrow \mu^+ \mu^- \gamma)_{I, \text{ with } \phi \text{ veto}} &= (0.72 \pm 1.56 \pm 0.29) \times 10^{-8}. \end{aligned}$$

- Dominati dall'incertezza statistica

$q^2$ bin	I	II	III
$q^2$ [GeV <sup>2</sup> /c <sup>4</sup> ]	[4 $m_\mu^2$ , 2.89]	[2.89, 8.29]	[15.37, $m_{B_s^0}^2$ ]
$m(\mu^+ \mu^-)$ [GeV/c <sup>2</sup> ]	[2 $m_\mu$ , 1.70]	[1.70, 2.88]	[3.92, $m_{B_s^0}$ ]
$10^{10} \times \mathcal{B}(B_s^0 \rightarrow \mu^+ \mu^- \gamma)$ [8]	$82 \pm 15$	$2.54 \pm 0.34$	$9.1 \pm 1.1$
Fraction of $B_s^0 \rightarrow \mu^+ \mu^- \gamma$	87%	2.7%	9.8%





- ▶  $b \rightarrow s \ell^+ \ell^-$  per indagare la Lepton Flavour Universality (LFU)
  - Simmetria accidentale del Modello Standard
  - Molto comune in estensioni di Nuova Fisica

▶ Analisi LFU a LHCb

"Test of lepton universality using  $B^+ \rightarrow K^+ \ell^+ \ell^-$  decays"

[\[Phys. Rev. Lett. 113 \(2014\) 151601\]](#)

"Test of lepton universality with  $B^0 \rightarrow K^{*0} \ell^+ \ell^-$  decays"

[\[JHEP 08 \(2017\) 055, arXiv:1705.05802\]](#)

"Search for lepton-universality violation  $B^+ \rightarrow K^+ \ell^+ \ell^-$  decays"

[\[Phys. Rev. Lett. 122 \(2019\) 191801\]](#)

"Test of lepton universality in beauty-quark decays"

[\[Nature Physics 18 \(2022\) 277\]](#)

"Tests of lepton universality using  $B^0 \rightarrow K_S^0 \ell^+ \ell^-$  and  $B^+ \rightarrow K^{*+} \ell^+ \ell^-$  decays"

[\[Phys. Rev. Lett. 128 \(2022\) 191802\]](#)

"Test of lepton universality in  $b \rightarrow s \ell^+ \ell^-$  decays"

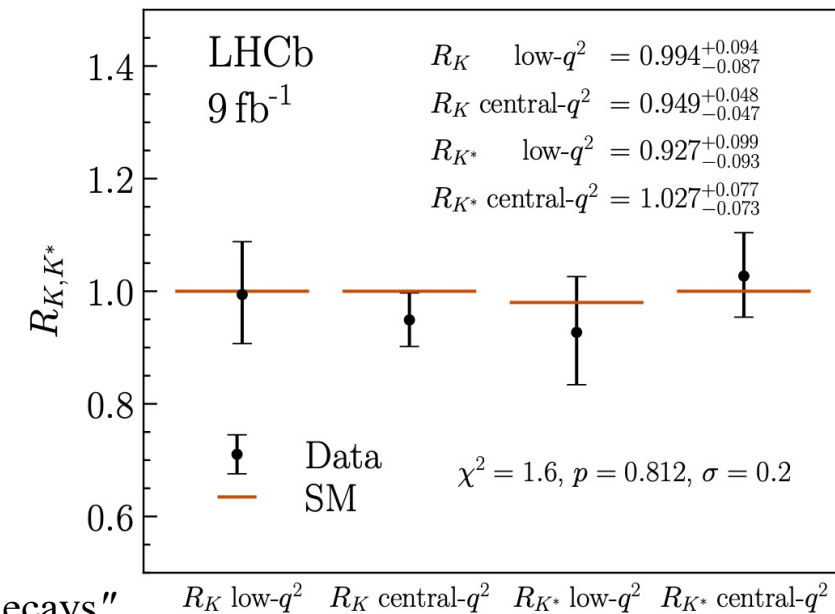
[\[Phys. Rev. Lett. 131 \(2023\) 051803\]](#)

"Measurement of lepton universality parameters in  $B^+ \rightarrow K^+ \ell^+ \ell^-$  and  $B^0 \rightarrow K^{*0} \ell^+ \ell^-$  decays"

[\[Phys. Rev. D108 \(2023\) 032002\]](#)

~10 anni

$$R_{H_s} = \frac{\int_{q^2_{min}}^{q^2_{max}} \frac{d\mathcal{B}(H_b \rightarrow H_s \mu^+ \mu^-)}{dq^2} dq^2}{\int_{q^2_{min}}^{q^2_{max}} \frac{d\mathcal{B}(H_b \rightarrow H_s e^+ e^-)}{dq^2} dq^2}$$



► "Measurement of the branching fraction ratio  $\mathcal{B}(\phi \rightarrow \mu^+ \mu^-) / \mathcal{B}(\phi \rightarrow e^+ e^-)$  with charm meson decays"

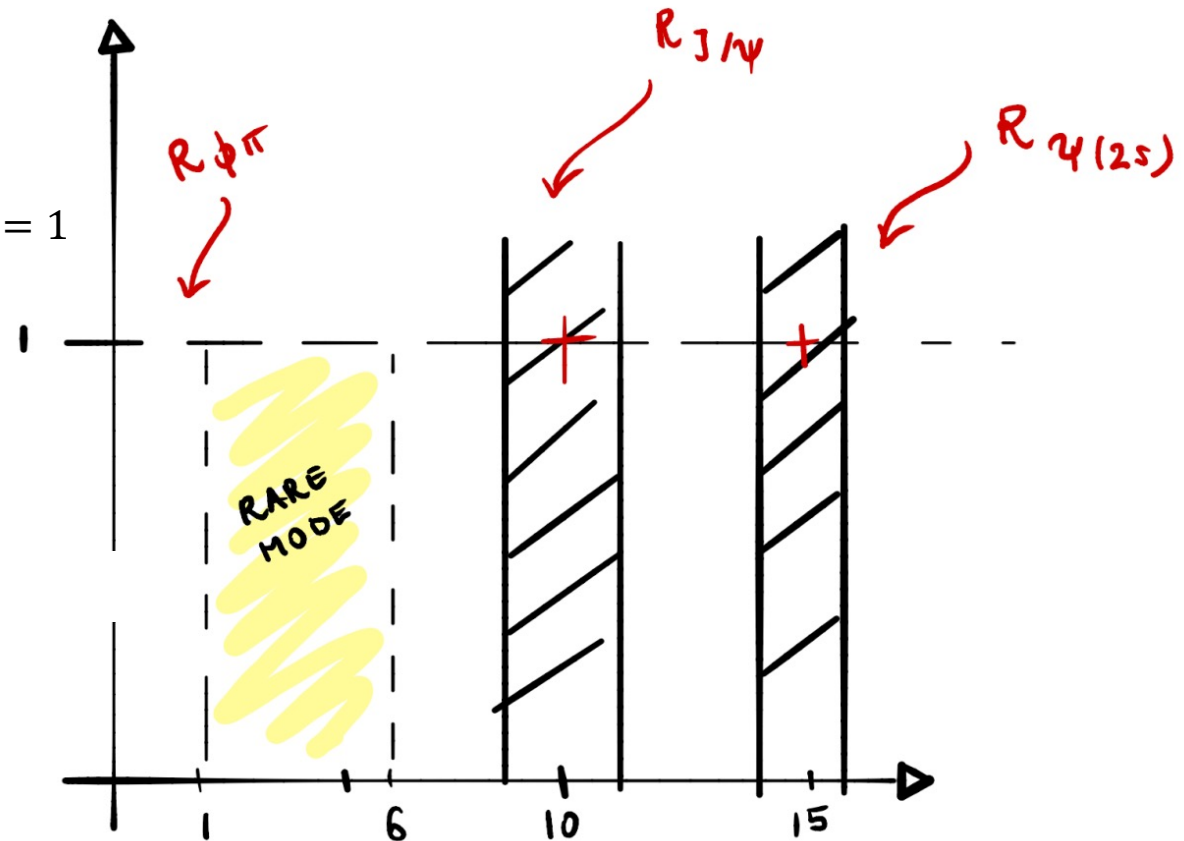
- [\[arXiv:2402.01336\]](https://arxiv.org/abs/2402.01336) sottomesso alla rivista JHEP
- $\sqrt{s} = 13 \text{ TeV}, \mathcal{L} = 5.4 \text{ fb}^{-1}$

► Strategia

- Test LFU con  $\mu e$  in transizione  $b \rightarrow s \ell^+ \ell^-$

$$R_{\phi\pi}^{d(s)} = \beta \cdot \frac{\mathcal{B}(D_{(s)}^+ \rightarrow \phi(\mu^+ \mu^-)\pi^+)}{\mathcal{B}(D_{(s)}^+ \rightarrow \phi(e^+ e^-)\pi^+)} / \frac{\mathcal{B}(B^+ \rightarrow J/\psi(\mu^+ \mu^-)K^+)}{\mathcal{B}(B^+ \rightarrow J/\psi(\mu^+ \mu^-)K^+)} = 1$$

- $\phi \rightarrow \ell^+ \ell^-$  dal decadimento  $D_{(s)}^+ \rightarrow \phi(\ell^+ \ell^-)\pi^+$ 
  - ✓ Controllo basse regioni di  $q^2$
- $B^+ \rightarrow J/\psi(\ell^+ \ell^-)K^+$  come canale di normalizzazione



➤ "Measurement of the branching fraction ratio  $\mathcal{B}(\phi \rightarrow \mu^+ \mu^-) / \mathcal{B}(\phi \rightarrow e^+ e^-)$  with charm meson decays"

- [\[arXiv:2402.01336\]](https://arxiv.org/abs/2402.01336) sottomesso alla rivista JHEP
- $\sqrt{s} = 13 \text{ TeV}$ ,  $\mathcal{L} = 5.4 \text{ fb}^{-1}$

➤ Strategia

- Test LFU con  $\mu e$  in transizione  $b \rightarrow s \ell^+ \ell^-$

$$R_{\phi\pi}^{d(s)} = \beta \cdot \frac{\mathcal{B}(D_{(s)}^+ \rightarrow \phi(\mu^+ \mu^-) \pi^+)}{\mathcal{B}(D_{(s)}^+ \rightarrow \phi(e^+ e^-) \pi^+)} / \frac{\mathcal{B}(B^+ \rightarrow J/\psi(\mu^+ \mu^-) K^+)}{\mathcal{B}(B^+ \rightarrow J/\psi(\mu^+ \mu^-) K^+)} = 1$$

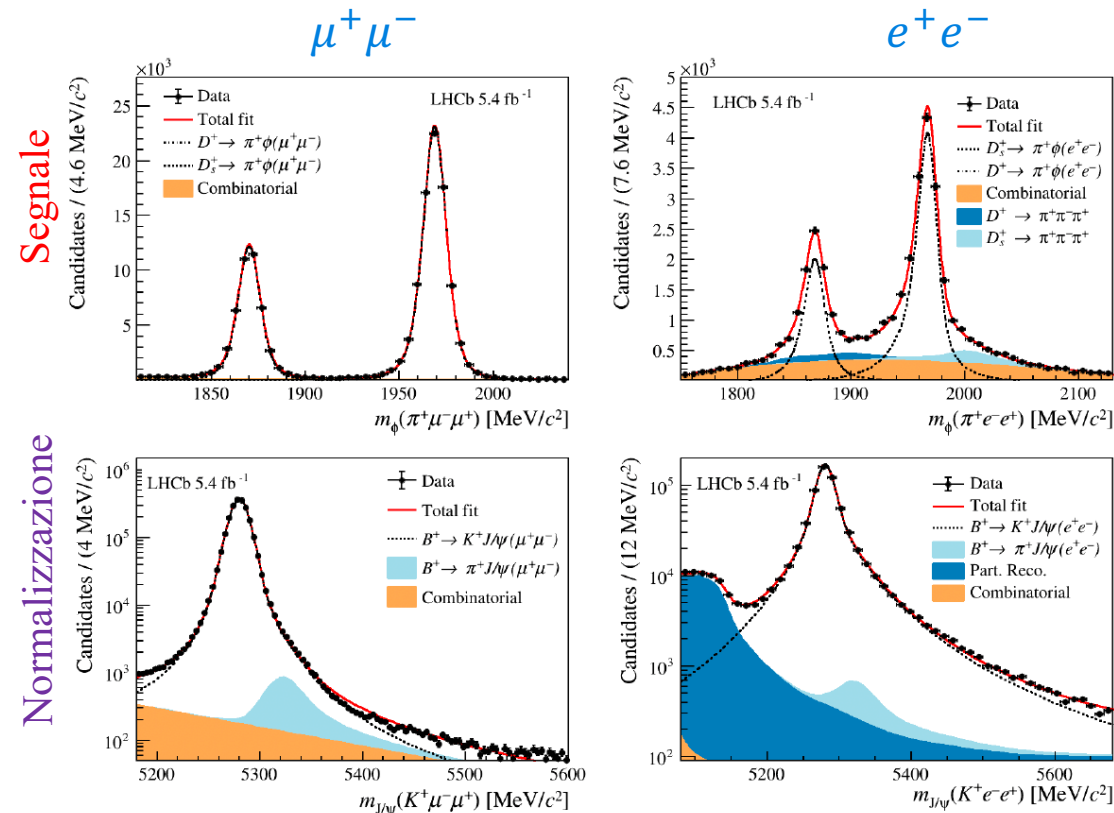
- $\phi \rightarrow \ell^+ \ell^-$  dal decadimento  $D_{(s)}^+ \rightarrow \phi(\ell^+ \ell^-) \pi^+$ 
  - ✓ Controllo basse regioni di  $q^2$
- $B^+ \rightarrow J/\psi(\ell^+ \ell^-) K^+$  come canale di normalizzazione

➤ Risultati

$$R_{\phi\pi}^{d(s)} = 1.022 \pm 0.012_{stat.} \pm 0.048_{sist.}$$

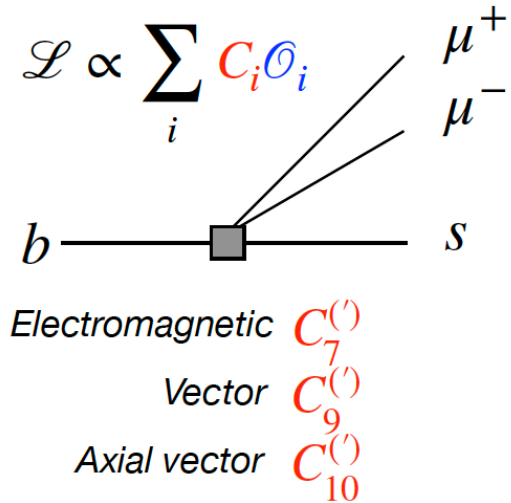
$$\mathcal{B}(\phi \rightarrow \mu^+ \mu^-) = (3.045 \pm 0.049_{stat.} \pm 0.148_{sist.}) \times 10^{-4}$$

- Primo test di LFU nei decadimenti di mesoni  $\phi$
- Ad oggi la misura più precisa su  $\mathcal{B}(\phi \rightarrow \mu^+ \mu^-)$

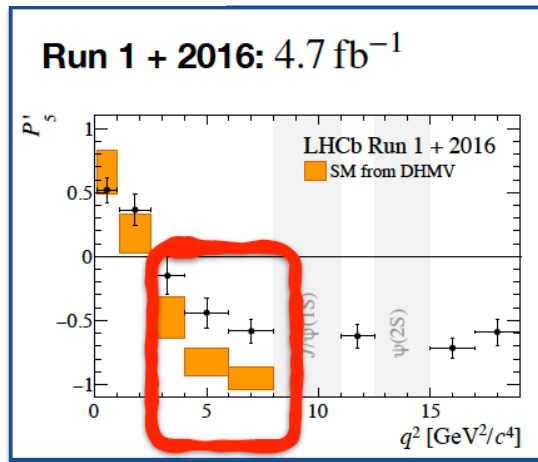
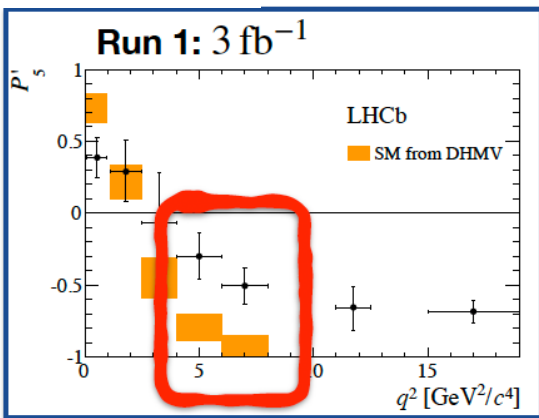
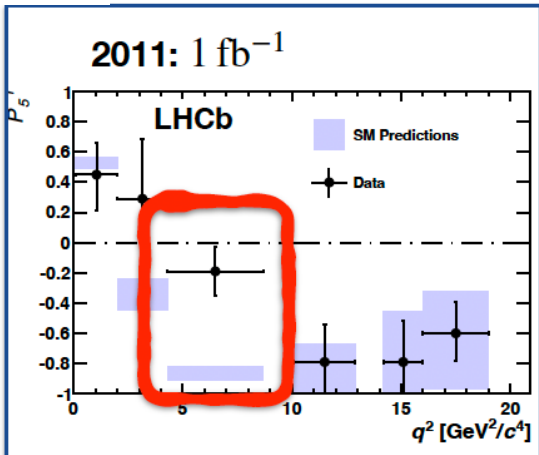


$$B^0 \rightarrow K^{*0} \mu^+ \mu^-$$

- $B^0 \rightarrow K^{*0} \mu^+ \mu^-$  è una transizione  $b \rightarrow s \ell^+ \ell^-$ 
  - Descrizione EFT con diversi coefficienti di Wilson  $\mathcal{C}$



*Dubbi e perplessità negli ultimi 10 anni*

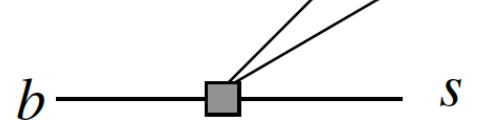


- Stato dell'arte
  - Deviazioni dal Modello Standard  $\sim 3.0\sigma$

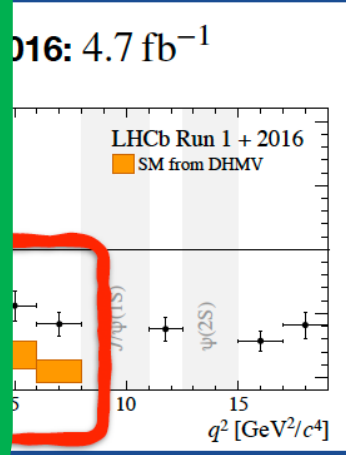
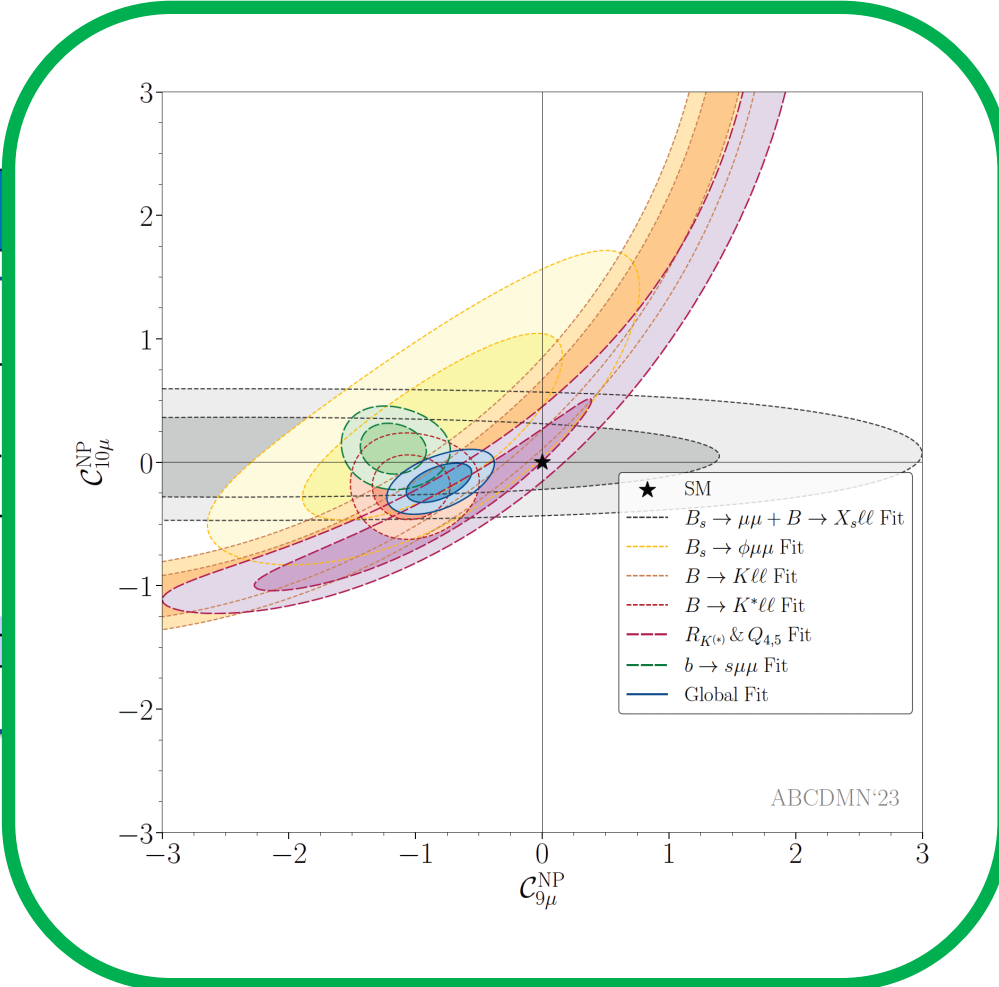
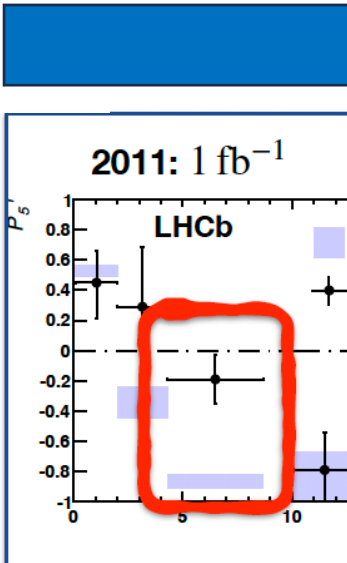
# $B^0 \rightarrow K^{*0} \mu^+ \mu^-$

- $B^0 \rightarrow K^{*0} \mu^+ \mu^-$  è una transizione  $b \rightarrow s \ell^+ \ell^-$
- Descrizione EFT con diversi coefficienti di Wilson  $\mathcal{C}$

$$\mathcal{L} \propto \sum_i C_i \mathcal{O}_i$$



- Electromagnetic  $C_7^{(\prime)}$
- Vector  $C_9^{(\prime)}$
- Axial vector  $C_{10}^{(\prime)}$



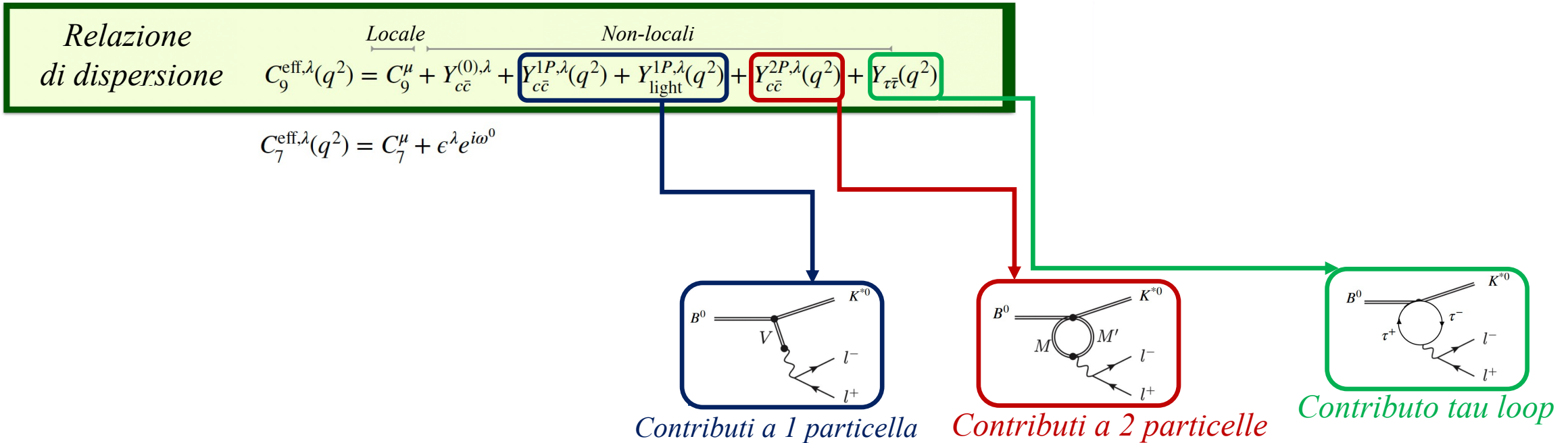
- Stato dell'arte
  - Deviazioni dal Modello Standard  $\sim 3.0\sigma$
- Possibile contributo anomalo vettoriale?

► "Comprehensive analysis of local and nonlocal amplitudes in the  $B^0 \rightarrow K^{*0} \mu^+ \mu^-$  decay"

- LHCb-PAPER-2024-011 - Articolo in preparazione
- $\sqrt{s} = 7, 8, 13$  TeV,  $\mathcal{L} = 8.4 \text{ fb}^{-1}$

► Strategia:

- Analisi "unbinned" e "model-dependent"



► "Comprehensive analysis of local and nonlocal amplitudes in the  $B^0 \rightarrow K^{*0} \mu^+ \mu^-$  decay"

- LHCb-PAPER-2024-011 - Articolo in preparazione
- $\sqrt{s} = 7, 8, 13$  TeV,  $\mathcal{L} = 8.4 \text{ fb}^{-1}$

► Strategia:

- Analisi "unbinned" e "model-dependent"

Relazione di dispersione

$$C_9^{\text{eff},\lambda}(q^2) = C_9^\mu + Y_{c\bar{c}}^{(0),\lambda} + \underbrace{Y_{c\bar{c}}^{1P,\lambda}(q^2)}_{\text{Locale}} + \underbrace{Y_{\text{light}}^{1P,\lambda}(q^2)}_{\text{Non-locali}} + \underbrace{Y_{c\bar{c}}^{2P,\lambda}(q^2)}_{\text{Non-locali}} + \underbrace{Y_{\tau\bar{\tau}}(q^2)}_{\text{Non-locali}}$$

$$C_7^{\text{eff},\lambda}(q^2) = C_7^\mu + \epsilon^\lambda e^{i\omega^0}$$

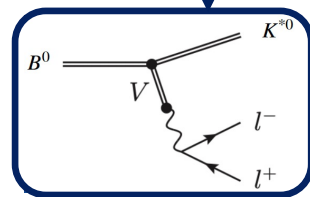
$$\frac{d^4 \bar{\Gamma}(B^0 \rightarrow K^+ \pi^- \mu^+ \mu^-)}{dq^2 d\vec{\Omega}} = \frac{9}{32\pi} \sum_i \bar{J}_i(q^2) f_i(\cos \theta_\ell, \cos \theta_K, \phi) G_i,$$

- Fit simultaneo in 5 dimensioni

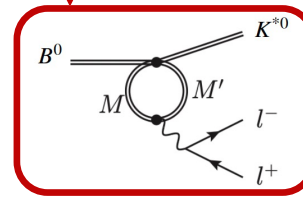
- ✓  $\cos\vartheta_\ell, \cos\vartheta_K, \phi, q^2, m_B$
- ✓  $1.0 < q^2 < 18.0 \text{ GeV}^2/c^4$

- Estrapolazione dei coefficienti di Wilson

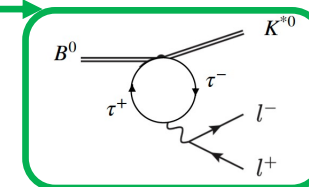
- ✓ Analisi contributi locali e non-locali



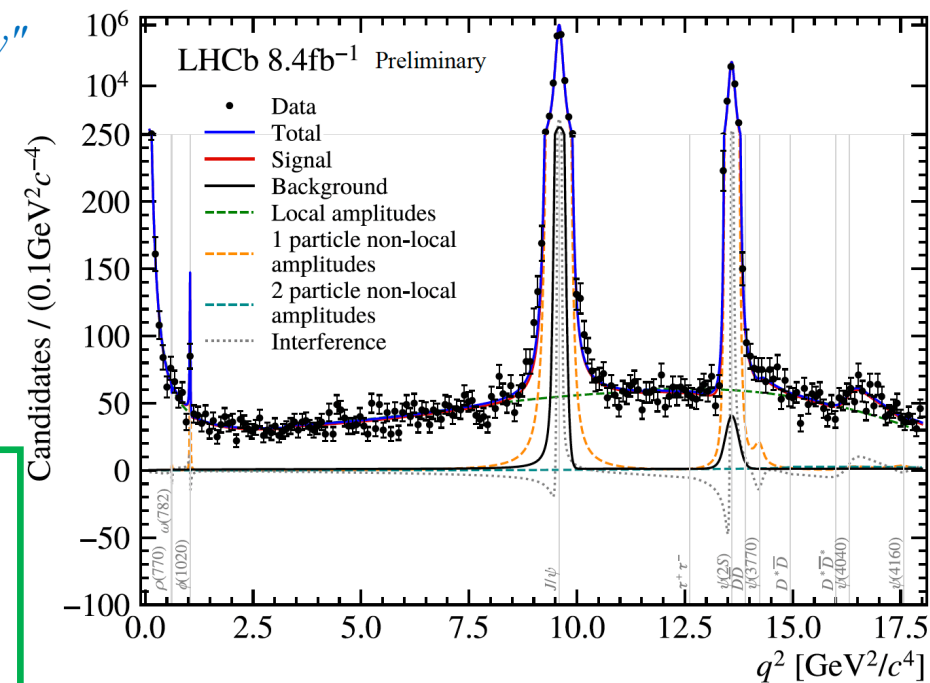
Contributi a 1 particella



Contributi a 2 particelle



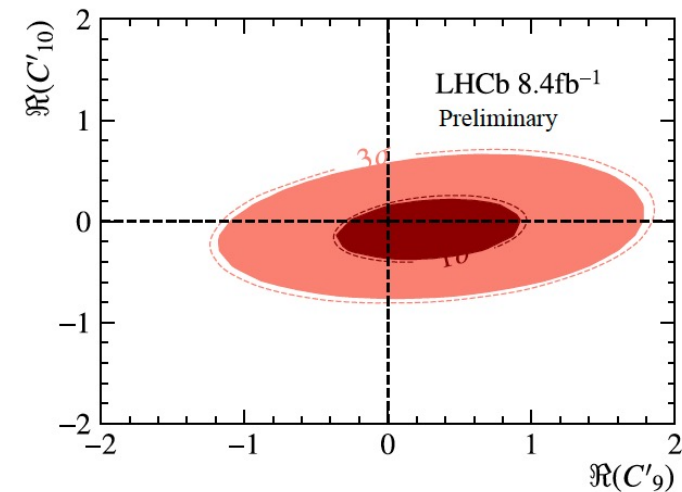
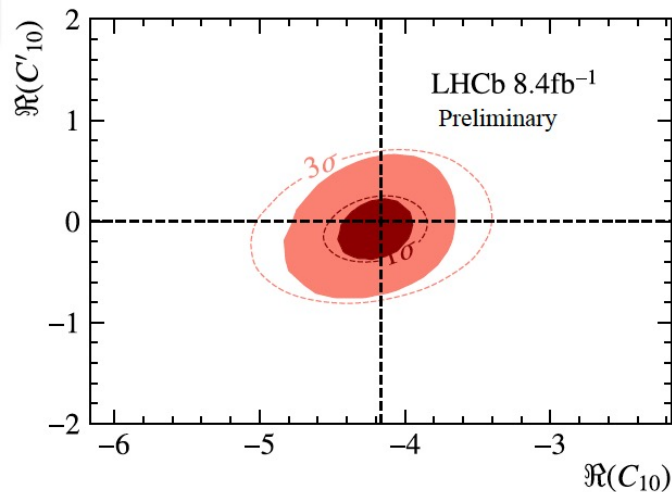
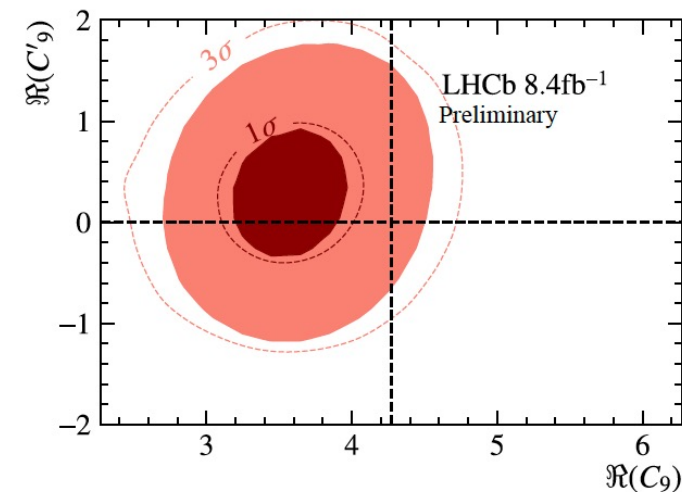
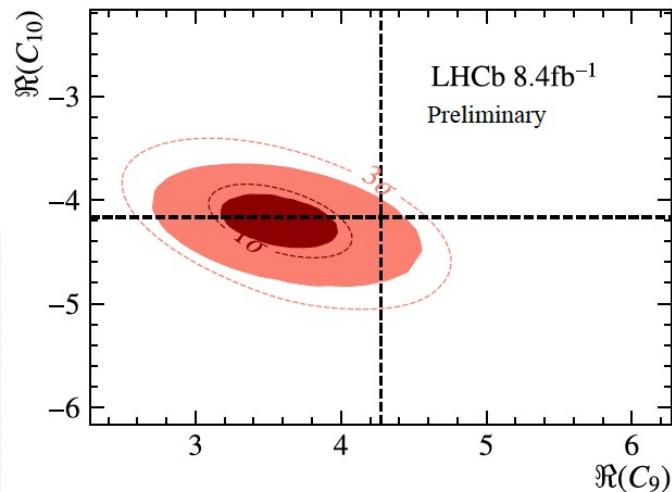
Contributo tau loop



## Misure dei coefficienti di Wilson

$C_9$	$3.56 \pm 0.28 \pm 0.18$	$2.1\sigma$
$C_{10}$	$-4.02 \pm 0.18 \pm 0.16$	$0.6\sigma$
$C'_9$	$0.28 \pm 0.41 \pm 0.12$	$0.7\sigma$
$C'_{10}$	$-0.09 \pm 0.21 \pm 0.06$	$0.4\sigma$
$C_9^\tau$	$-116 \pm 264 \pm 98$	$0.4\sigma$

- Deviazione **globale** dal Modello Standard  $\sim 1.5\sigma$ 
  - ✓ In accordo con le precedenti analisi
- Deviazione per  $C_9 \sim 2.1\sigma$ 
  - ✓  $\Delta C_9^{NP} = -0.71$
- Prima misura di  $C_9^\tau$



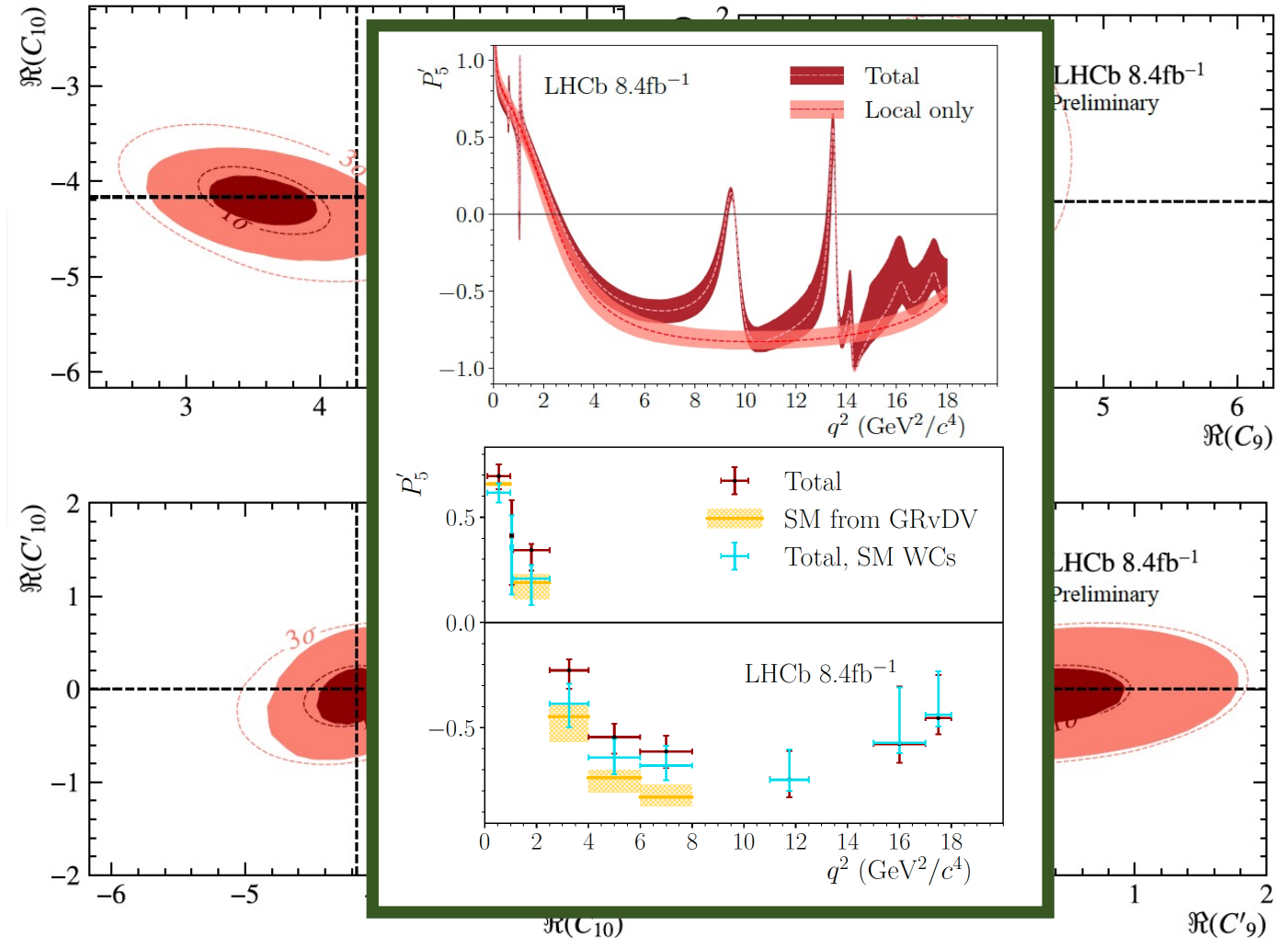
► Misure dei coefficienti di Wilson

$C_9$	$3.56 \pm 0.28 \pm 0.18$	$2.1\sigma$
$C_{10}$	$-4.02 \pm 0.18 \pm 0.16$	$0.6\sigma$
$C'_9$	$0.28 \pm 0.41 \pm 0.12$	$0.7\sigma$
$C'_{10}$	$-0.09 \pm 0.21 \pm 0.06$	$0.4\sigma$
$C_9^\tau$	$-116 \pm 264 \pm 98$	$0.4\sigma$

- Deviazione **globale** dal Modello Standard  $\sim 1.5\sigma$ 
  - ✓ In accordo con le precedenti analisi
- Deviazione per  $C_9 \sim 2.1\sigma$ 
  - ✓  $\Delta C_9^{NP} = -0.71$
- Prima misura di  $C_9^\tau$

► Ampiezze non-locali

- Influenza dei contributi sulle misure angolari ...
- ... **non dominante**



► Sono stati presentati risultati recenti per i decadimenti rari ed estremamente rari a LHCb

- $J/\psi \rightarrow \mu^+ \mu^- \mu^+ \mu^-$  - Ad oggi la misura più precisa su  $\mathcal{B}(J/\psi \rightarrow \mu^+ \mu^- \mu^+ \mu^-)$

$$\mathcal{B}(J/\psi \rightarrow \mu^+ \mu^- \mu^+ \mu^-) = (1.13 \pm 0.10_{stat.} \pm 0.05_{sist.} \pm 0.01_{est.}) \times 10^{-6}$$

- $B_s^0 \rightarrow \mu^+ \mu^- \gamma$  - Primo limite con ricostruzione completa dello stato finale

$$\mathcal{B}(B_s^0 \rightarrow \mu^+ \mu^- \gamma)_{comb.} < 2.5 (2.8) \times 10^{-8}$$

- $\mathcal{B}(\phi \rightarrow \mu^+ \mu^-) / \mathcal{B}(\phi \rightarrow e^+ e^-)$  - Primo test di LFU nei decadimenti di mesoni  $\phi$

$$R_{\phi\pi} = 1.022 \pm 0.012_{stat.} \pm 0.048_{sist.}$$

$$\mathcal{B}(\phi \rightarrow \mu^+ \mu^-) = (3.045 \pm 0.049_{stat.} \pm 0.148_{sist.}) \times 10^{-4}$$

- $B^0 \rightarrow K^{*0} \mu^+ \mu^-$  - Analisi angolare con misura dei coefficienti di Wilson

$\mathcal{C}_9$	$3.56 \pm 0.28 \pm 0.18$	$2.1\sigma$
$\mathcal{C}_{10}$	$-4.02 \pm 0.18 \pm 0.16$	$0.6\sigma$
$\mathcal{C}'_9$	$0.28 \pm 0.41 \pm 0.12$	$0.7\sigma$
$\mathcal{C}'_{10}$	$-0.09 \pm 0.21 \pm 0.06$	$0.4\sigma$
$\mathcal{C}_9^\tau$	$-116 \pm 264 \pm 98$	$0.4\sigma$

A nome della collaborazione LHCb  
vi ringrazio per la vostra attenzione